

25 リングせん断型土石流試験機の試作について

京都大学防災研究所 佐々恭二

まえがき

土石流は水と土砂が一体となった流れであり、水の性質と土砂の性質をあわせ持つていて考えらやる。水のみの場合、水は拘束圧（流動深）によって性質が変化しないので、数cmの流動深を持つ水路実験の結果を無次元化して表示することにより、自然現象の解釈に用ひやすくなる。一方、土は間隔孔水圧を含めた拘束圧が、そのせん断特性を決定する最大の要素と考えられ、この試験は自然現象に対応した拘束圧を載荷して行なわれている。土石流現象を室内で再現する場合、土石流の流動深に対応する拘束圧を載荷しつつ流動を発生させることが必要と考えらたが、従来の水路実験では拘束圧を載荷できず、従来の土質試験機では流動を発生させることができない。そこで、二つの割のリング状の水路の上部より載荷しつつ下部リングを回転させ、その時の応力-歪を測定しつつ流動状態の観察ができる試験機-リングせん断型土石流試験機を考案・試作した。

1. 土石流研究に用ひられて来た試験法とその特徴

A. 水路実験 水路を用いた土石流の実験は Bagnold⁵⁾の後、多くの研究者によって行われてあり、砂を含む水の流れの抵抗則の研究に有効であるが、自然の土石流の流動深である1mのオーダーの再現は困難であり、拘束圧の載荷は不可能に近い。Bagnold の実験の流動深は0.5~0.9cmである、日本で多く行われて來た実験も数cmのオーダーである。

B. 二重円筒試験機 Bagnold⁵⁾は液体の粘性を調べるために用ひられた回転粘度計、すなわち同二重円筒の間に液体を入れ、外筒を回転させて内筒へ伝達されたトルクを測定する試験機に改良を加えて、内筒にかかる垂直応力を測定できる試験機(図1)を作製した。正の部分に水と同じ比重を持つ直徑1.32mmのワックスの球と水を入れ、外円筒を回転させた時に内円筒にかかるせん断応力を垂直応力を測定した。回転速度は0.25~8.6回転/秒 すなわち2~277cm/secで実際の土石流に対応する流速をとっている。半径約5cmの内筒を高速回転してから止め、遠心力は最大で重力の3.8倍に当たっており、がつまれがせん断面に対する垂直応力をとして作用する形になつてゐるが、比重が水と同じ粒子を用ひてゐるので、粒子への遠心力の影響は取りのぞかれてゐる。

この実験結果を図2に示す。試験を行なったサンプルの容積濃度は13~62%、間隔孔比に1.2~0.61~6.69、こやく通常の石の比重2.6~2.7を用いて乾燥密度に換算すると0.35~1.65g/cm³前後にあら。また、測定された垂直応力は2.55/cm²以下、せん断応力は1.85/cm²以下である。したがつて、彼の実験(

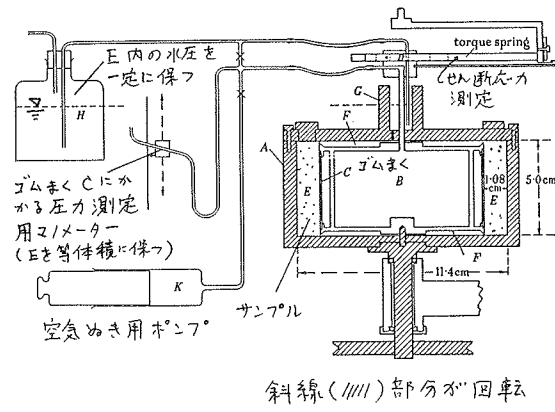


図1 Bagnold の二重円筒試験機

でいるのは、水路実験と同じく 1cm 前後の流動深に対応する試験であり、現実の土石流のオーダーとはかけ離れている。そして、この試験機ではせん断応力が大きく左と図 1 C のゴムがよじれて支えることができる、拘束圧が少しだまく左と、粒子内のせん断抵抗より、粒子とドラムとの境界のせん断抵抗の方が小さく左るので、ドラムの内壁すべりが生じ、そのせん断抵抗が測定された事になった。（一般に最密状態につめた砂状体を等体積条件でせん断しようとすると、ダイラタンシーのために垂直応力、せん断応力とも、若干しく増大し、せん断できかねる。粒子破碎が生じると必ずやかに大きくなる。図 2 の最密状態 ($e = 0.61$) の球が、わずか 0.04 gf/cm^2 でせん断されてしまうのは、壁面でのすべり以外には解説が困難である）したがって、この方法では、拘束圧の大きい状態や密な状態の試験は困難である。

C. 荷重制御非排水三軸試験 Castro⁶⁾ は図 3 に示す三軸試験機を用いて、一定の拘束圧をかけたサンプルを非排水状態の荷重制御（重り）を段階的に載荷して圧縮すると、ある限界間げき比以上のルースな砂は、ある点で急激にせん断強度を失い、流動することを見出した。そしてこれが流動型崩壊（地すべり）（flow slide）の原因としている。この実験は、その後 Lindenbergh⁷⁾ 他の人々によっても確認されている。

また、佐々木も標準砂や土石流の発生する渓床堆積物を用いて実験を行っている。¹⁴⁾ この方法は現場の土を用いて現場の拘束圧に対応する圧力をかけて、流動化を発生させることができたが、円筒形サンプルの圧縮試験方での、流動距離（？）、左方や右方の変位は Castro の実験でわずか 1.8 cm (20% 程度)、佐々木の実験¹⁴⁾ でも供試体が大きいとはいいえ 5 cm である。したがって、この方法では定常的な流動状態の再現は困難である。

2. リングせん断型土石流試験機の構造

現実の土石流に対応する拘束圧（流動深を数 m と考えて、 0.4 kg/cm^2 程度）と現実の土石流と同じオーダーの流速 (1 m/sec 程度) を再現でき、どのようなせん断が

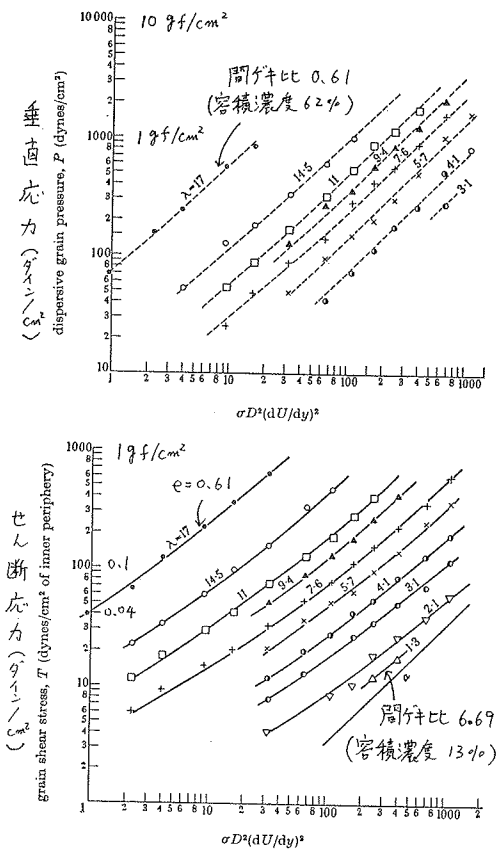


図 2 Bagnold の二重円筒試験の結果
 $980 \text{ タイン}/\text{cm}^2 = 1 \text{ gf}/\text{cm}^2$, dU/dy : ヒズミ速度
 D, e : 粒子の直徑と比剛度 σ : 線密度

図 2 Bagnold の二重円筒試験の結果

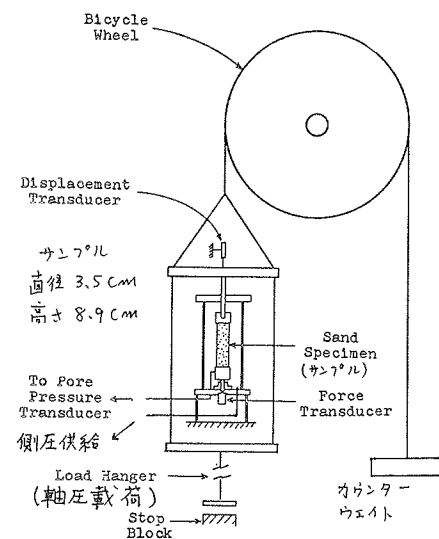


図 3 Castro の荷重制御非排水三軸試験機

生じてはいるが観察でき、かつ土石流発生時の急速載荷の状態に対応する等体積条件のせん断と定常的大流動下対応する等圧条件(垂直応力一定)の両試験ができる構造に付けている。図4にその模式図を示す。内径30cm、外径48cm、深さ9cmの回転水路の上部よりゴム袋に空気圧をかけ、載荷板を通じてサンプルに垂直応力を与える。載荷板は3本のベアリングつき支柱で支えられており。等圧試験ではこの支柱の変位と体積変化を測定し、等体積試験ではこの支柱を上盤に固定して、サンプルの体積を一定に保つ。サンプルの下半分はリングの下盤(III部)に固定されており、上の部分はギヤーと周波数制御モーターにより0.3mm/分～約1m/秒の速度で回転できる。せん断面にかかる垂直応力は上盤と本体をつなぐ部分に取りつけたロードセル(ニヤを常に引張側に保ち、かつ回転ジョイントやギヤーの調整ギヤー内の遊びをとるために、上盤の自重分は上部よりバネ計りでつり上げてある)で測定し、せん断応力は図4左端のロードセルで上盤の回転を止め刑で測定している。サンプル箱のエッジはサンプルの流出を防ぎ、かつ上盤が微妙に振れても下盤に当らぬよう1/6のテーパーでかみ合わせてある。写真1は試験機の上盤を取りのぞいた所、写真2はサンプル箱の中に $\phi=2\text{mm}$ のガラスビーズを入れた所、写真3はその上から上盤をセットした所である。

3. リングせん断型土石流試験機の試験結果

試験機の最初のテストとして試験を単純化するために $\phi=1\text{mm}$ 、及び 2mm の均等粒径のガラスビーズ⁽¹⁾⁽²⁾⁽³⁾を用いて乾燥状態で試験を行った。本研究会でも引用文献3でより詳しく報告するが、 $\phi=1\text{mm}$ のビーズの実験結果の一部を図5に示す。太い実線及び2本の点線が等体積試験の結果である。粗粒底堆積物の上に、斜面または源頭部からの崩落

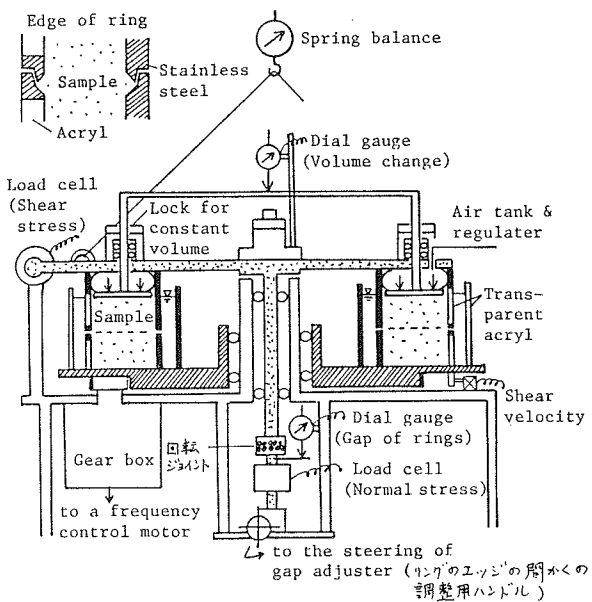


図4 リングせん断型土石流試験機(模式図)

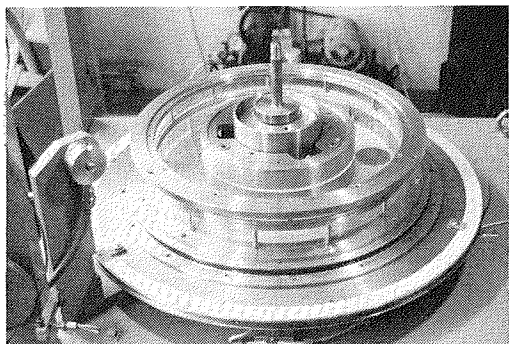


写真1 試験機の上盤を取りのぞいた所

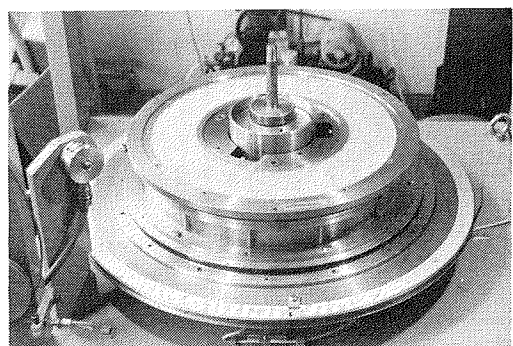


写真2 サンプル箱にガラスビーズ($\phi=2\text{mm}$)を試料としてつめた所

土砂が集了状態に対応させて、急激 (90.76 cm/sec) に等体積条件でせん断したもののが太い実線である。この場合、ビーズは一たんせん断強度がゼロにたり、約 2 cm せん断後 8 gf/cm^2 の極めて低いせん断強度で定常状態に至った。すなわち 粒子構造を持つ粒状体が等体積条件でせん断されれば、若干の小さなせん断強度しか發揮しえない（液状化する）が示された。一方、密实ものではせん断とともに応力が上昇し、試験機の垂直応力測定範囲の上限 (0.418 gf/cm^2) でも定常状態に至らず、試験を中止した。

また、中間の密度では、一たん垂直応力は減少したが、その後、破壊包絡線に沿って上昇し 60 gf/cm^2 のせん断抵抗力を發揮する状態で定常状態に至った。一方、土石流の定常的主流動状態に対する等価状態で試験したこと、せん断速度を変化させてもすべて同じ破壊包絡線上に集り、静的なせん断で發揮された内部マツツ角も、約 1 m/sec のせん断速度の時に発揮される動的内部マツツ角も同じであることが見出された。この事は 土石流が平坦部まで流れる理由が、流動中の内部マツツ角（動的マツツ角）が小さいためではなく、流動滑生後の擾乱により 土層内の細粒部が間代水に浮遊し、「間代水の比重の増大」→「土石流前面の有効垂直応力の低下」→「せん断抵抗力の低下」という機構が生じることを示唆するものと思われる。

本研究は文部省科学研究費補助金（試験研究2, NO.57860028, 代表者 佐々）によって行方に、また、研究の実施にあたる 京都大学教授 島通保、武居有恒博士と大学院生 海堀正博君の協力を得たことを記し、感謝の意を表します。

引用文献

- 1) Sassa (1984); The mechanism starting liquefied landslides and debris flows. 第4回国際地すべりシンポジウム, オオタ.
- 2) 佐々 (1984); リンゲせん断型土石流発生・流動停止現象再現試験機の製作研究。昭和58年度科研費研究成果報告書
- 3) 海堀、佐々 (1984); リンゲせん断型土石流試験機によるガラスビーズの流動特性。昭和59年度砂防学会研究発表会
- 4) 木寺、大手、海堀、佐々; 荷重制御非排水三軸試験による土砂の液状化について。昭和59年度砂防学会研究発表会
- 5) Bagnold (1954); Experiments on a gravity-free dispersion of large solid spheres in a Newtonian fluid under shear. Proc. Roy. Soc. London. A, 225
- 6) Castro (1969); Liquefaction of sands. Harvard Soil Mechanics Series No.81
- 7) Lindenbergh & Koning (1981); Critical density of sand. Géotechnique 31, No.2

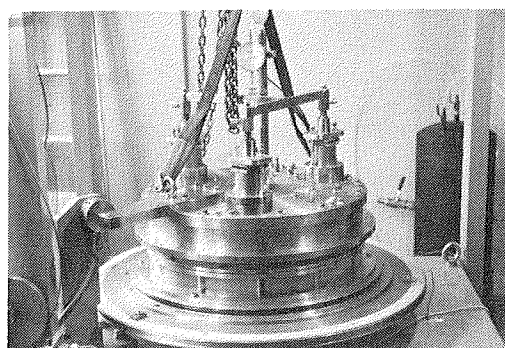


写真3 上盤（垂直応力載荷部）の取付け後

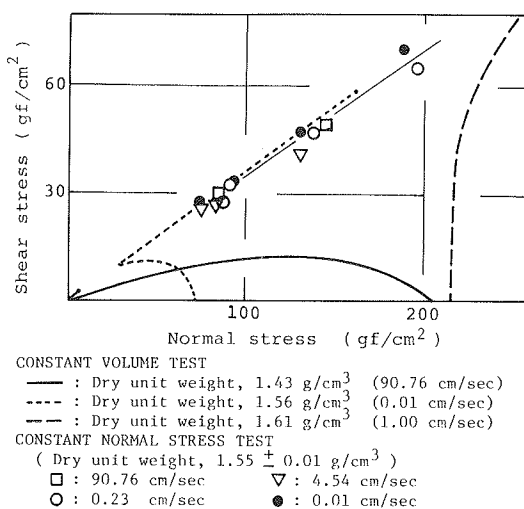


図5 リンゲせん断型土石流試験機の試験結果